

本資料のうち、枠囲みの内容
は商業機密の観点から公開で
きません。

女川原子力発電所第2号機 工事計画審査資料

| | |
|-------|-------------------|
| 資料番号 | 02-工-B-19-0082_改2 |
| 提出年月日 | 2021年11月5日 |

VI-2-4-2-5 使用済燃料プール水位／温度（ヒートサーモ式）の耐震性に
についての計算書

O 2 ③ VI-2-4-2-5 R 3

2021年11月
東北電力株式会社

目次

| | |
|------------------------------|----|
| 1. 概要 | 1 |
| 2. 一般事項 | 1 |
| 2.1 構造計画 | 1 |
| 2.2 評価方針 | 3 |
| 2.3 適用規格・基準等 | 4 |
| 2.4 記号の説明 | 5 |
| 2.5 計算精度と数値の丸め方 | 7 |
| 3. 評価部位 | 8 |
| 4. 地震応答解析及び構造強度評価 | 8 |
| 4.1 地震応答解析及び構造強度評価方法 | 8 |
| 4.2 荷重の組合せ及び許容応力 | 8 |
| 4.2.1 荷重の組合せ及び許容応力状態 | 8 |
| 4.2.2 許容応力 | 8 |
| 4.2.3 使用材料の許容応力評価条件 | 8 |
| 4.3 解析モデル及び諸元 | 12 |
| 4.4 固有周期 | 15 |
| 4.5 設計用地震力 | 17 |
| 4.6 計算方法 | 18 |
| 4.6.1 保護管の計算方法 | 18 |
| 4.6.2 検出器架台の計算方法 | 19 |
| 4.6.3 基礎ボルトの計算方法 | 20 |
| 4.6.4 ワーキングテーブルラグ計算方法 | 23 |
| 4.7 計算条件 | 25 |
| 4.8 応力の評価 | 25 |
| 4.8.1 保護管の応力評価 | 25 |
| 4.8.2 検出器架台の応力評価 | 25 |
| 4.8.3 基礎ボルトの応力評価 | 25 |
| 4.8.4 ワーキングテーブルラグの応力評価 | 26 |
| 5. 機能維持評価 | 27 |
| 5.1 電気的機能維持評価方法 | 27 |
| 6. 評価結果 | 28 |
| 6.1 重大事故等対処設備としての評価結果 | 28 |

1. 概要

本計算書は、添付書類「VI-2-1-9 機能維持の基本方針」にて設定している構造強度及び機能維持の設計方針に基づき、使用済燃料プール水位／温度（ヒートサーモ式）が設計用地震力に対して十分な構造強度及び電気的機能を有していることを説明するものである。

使用済燃料プール水位／温度（ヒートサーモ式）は、重大事故等対処設備においては常設耐震重要重大事故防止設備以外の常設重大事故防止設備及び常設重大事故緩和設備に分類される。以下、重大事故等対処設備としての構造強度評価及び電気的機能維持評価を示す。

2. 一般事項

2.1 構造計画

使用済燃料プール水位／温度（ヒートサーモ式）の構造計画を表 2-1 に示す。

表 2-1 構造計画

| 計画の概要 | | 概略構造図 |
|--|---|--|
| 基礎・支持構造 | 主体構造 | |
| <p>検出器は、検出器架台、保護管、熱電対で構成される。熱電対は保護管内に 15 個内蔵され、保護管は、検出器架台とフランジにて接続する。</p> <p>検出器架台は、取付ボルトによりベースプレートに固定され、ベースプレートは基礎ボルトにより床面に設置する。</p> <p>また、保護管は保護管サポートに固定され、保護管サポートに接続されているシャフトをワーキングテーブルラグに引掛けて設置する。</p> | <p>熱電対 (床に設置された検出器架台及び壁に設置されたワーキングテーブルラグに、保護管に内蔵された検出器をフランジ及び保護管サポートにて固定する構造)</p> | <p>【使用済燃料プール水位／温度（ヒートサーモ式）】</p> <p>(単位 : mm)</p> |

2.2 評価方針

使用済燃料プール水位／温度（ヒートサーモ式）の応力評価は、添付書類「VI-2-1-9 機能維持の基本方針」にて設定した荷重及び荷重の組合せ並びに許容限界に基づき、「2.1 構造計画」にて示す使用済燃料プール水位／温度（ヒートサーモ式）の部位を踏まえ「3. 評価部位」にて設定する箇所において、「4.3 解析モデル及び諸元」及び「4.4 固有周期」で算出した固有周期に基づく設計用地震力による応力等が許容限界内に収まることを、「4. 地震応答解析及び構造強度評価」にて示す方法にて確認することで実施する。

また、使用済燃料プール水位／温度（ヒートサーモ式）の機能維持評価は、添付書類「VI-2-1-9 機能維持の基本方針」にて設定した電気的機能維持の方針に基づき、地震時の応答加速度が電気的機能確認済加速度以下であることを、「5. 機能維持評価」にて示す方法にて確認することで実施する。確認結果を「6. 評価結果」に示す。

使用済燃料プール水位／温度（ヒートサーモ式）の耐震評価フローを図 2-1 に示す。

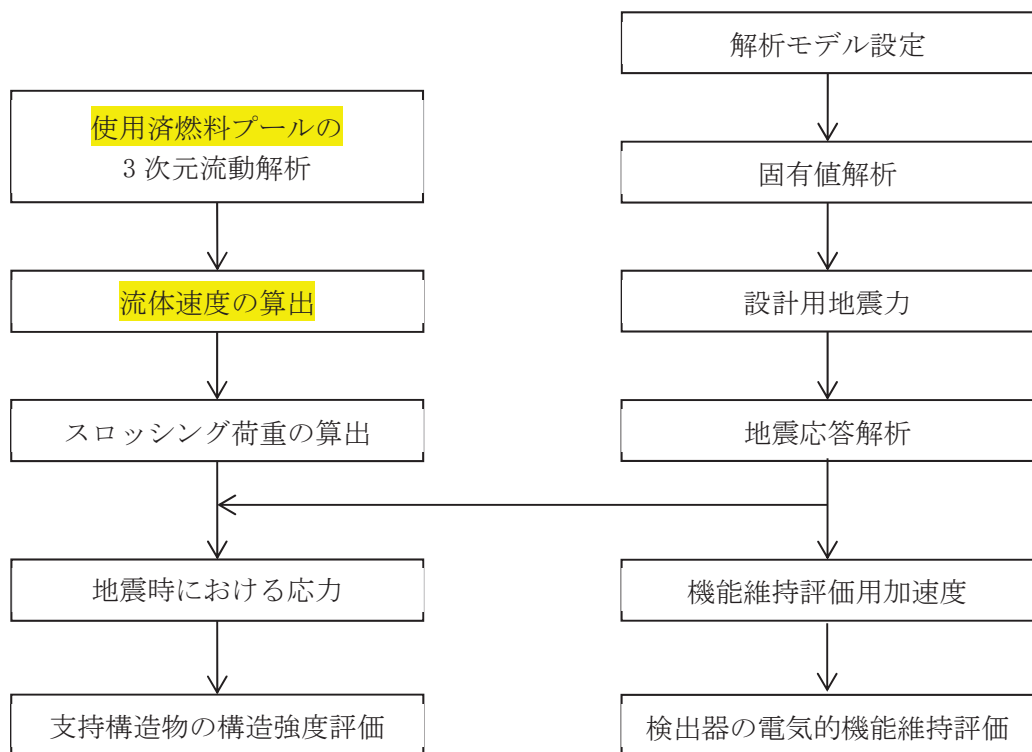


図 2-1 使用済燃料プール水位／温度（ヒートサーモ式）の耐震評価フロー

2.3 適用規格・基準等

本評価において適用する規格・基準等を以下に示す。

- (1) 原子力発電所耐震設計技術指針（J E A G 4 6 0 1-1987）
- (2) 原子力発電所耐震設計技術指針 重要度分類・許容応力編（J E A G 4 6 0 1・補-1984）
- (3) 原子力発電所耐震設計技術指針（J E A G 4 6 0 1-1991 追補版）
- (4) J S M E S N C 1 -2005/2007 発電用原子力設備規格 設計・建設規格
(以下「設計・建設規格」という。)

2.4 記号の説明

| 記 号 | 記 号 の 説 明 | 単 位 |
|------------------|------------------------------|-----------------|
| A | スロッシングにおける保護管の投影面積 | mm ² |
| A _b | 基礎ボルトの軸断面積 | mm ² |
| A _c | 検出器架台の断面積 | mm ² |
| A _w | ワーキングテーブルラグ下端の断面積 | mm ² |
| C _d | 保護管の抗力係数 | — |
| C _H | 水平方向設計震度 | — |
| C _V | 鉛直方向設計震度 | — |
| d | 基礎ボルトの呼び径 | mm |
| d _o | 保護管外径 | mm |
| d _i | 保護管内径 | mm |
| F* | 設計・建設規格 SSB-3133 に定める値 | MPa |
| F _b | 基礎ボルトに作用する引張力 (1本当たり) | N |
| F _s | スロッシングにより保護管に生じる抗力 | N |
| F _{x1} | 地震応答解析によるX軸方向に作用する力 | N |
| F _{x2} | 地震力及びスロッシングによるX軸方向に作用する力 | N |
| F _{y1} | 地震応答解析によるY軸方向に作用する力 | N |
| F _{y2} | 地震力及びスロッシングによるY軸方向に作用する力 | N |
| F _{z1} | 地震応答解析によるZ軸方向に作用する力 | N |
| F _{z2} | 地震力及びスロッシングによるZ軸方向に作用する力 | N |
| f _{t o} | 引張力のみを受ける基礎ボルトの許容引張応力 | MPa |
| f _{s b} | せん断力のみを受ける基礎ボルトの許容せん断応力 | MPa |
| f _{t s} | 引張力とせん断力を同時に受ける基礎ボルトの許容引張応力 | MPa |
| f _t | 許容組合せ応力 | MPa |
| h | ワーキングテーブルラグ下端断面の応力計算に用いる距離 | mm |
| h ₁ | ボルトの応力計算に用いる距離 (X軸方向) | mm |
| h ₂ | ボルトの応力計算に用いる距離 (Y軸方向) | mm |
| l _p | 保護管長さ | mm |
| m _p | 質量 | kg |
| m _{w1} | 保護管内包水質量 | kg |
| m _{w2} | 保護管により排除される水の付加質量 | kg |
| M _{x1} | 地震応答解析によるX軸方向に作用するモーメント | N・mm |
| M _{x2} | 地震力及びスロッシングによるX軸方向に作用するモーメント | N・mm |
| M _{y1} | 地震応答解析によるY軸方向に作用するモーメント | N・mm |
| M _{y2} | 地震力及びスロッシングによるY軸方向に作用するモーメント | N・mm |
| M _{z1} | 地震応答解析によるZ軸方向に作用するモーメント | N・mm |
| M _{y2} | 地震力及びスロッシングによるZ軸方向に作用するモーメント | N・mm |

| 記号 | 記号の説明 | 単位 |
|------------|---|------------------------|
| n | 基礎ボルトの本数 | — |
| n_x | M_x の引張力に耐えうる基礎ボルトの本数 | — |
| n_y | M_y の引張力に耐えうる基礎ボルトの本数 | — |
| n_z | M_z の引張力に耐えうる基礎ボルトの本数 | — |
| Q_b | 基礎ボルトに作用するせん断力 | N |
| S_u | 設計・建設規格 付録材料図表 Part5 表9に定める値 | MPa |
| S_y | 設計・建設規格 付録材料図表 Part5 表8に定める値 | MPa |
| $S_y(R_T)$ | 設計・建設規格 付録材料図表 Part5 表8に定める材料の 40°C における値 | MPa |
| V | スロッシングによる流速 | m/s |
| W | 荷重 | N |
| Z_1 | 弱軸回りの断面係数 | mm^3 |
| Z_2 | 強軸回りの断面係数 | mm^3 |
| Z_{p1} | ねじり断面係数 | mm^3 |
| Z_z | ワーキングテーブルラグ下端断面係数 | mm^3 |
| ρ | 水の密度 | kg/m^3 |
| σ_t | 基礎ボルトに生じる引張応力 | MPa |
| τ | 基礎ボルトに生じるせん断応力 | MPa |
| σ_k | 組合せ応力 | MPa |

2.5 計算精度と数値の丸め方

計算精度は有効数字 6 桁以上を確保する。

表示する数値の丸め方は、表 2-2 に示すとおりとする。

表 2-2 表示する数値の丸め方

| 数値の種類 | 単位 | 処理桁 | 処理方法 | 表示桁 |
|-------|-----------------|------------|------|------------------------|
| 固有周期 | s | 小数点以下第 4 位 | 四捨五入 | 小数点以下第 3 位 |
| 震度 | — | 小数点以下第 3 位 | 切上げ | 小数点以下第 2 位 |
| 温度 | °C | — | — | 整数位 |
| 質量 | kg | — | — | 整数位 |
| 長さ | mm | — | — | 整数位 ^{*1} |
| 面積 | mm ² | 有効数字 5 桁目 | 四捨五入 | 有効数字 4 桁 ^{*2} |
| モーメント | N・mm | 有効数字 5 桁目 | 四捨五入 | 有効数字 4 桁 ^{*2} |
| 力 | N | 有効数字 5 桁目 | 四捨五入 | 有効数字 4 桁 ^{*2} |
| 算出応力 | MPa | 小数点以下第 1 位 | 切上げ | 整数位 |
| 許容応力 | MPa | 小数点以下第 1 位 | 切捨て | 整数位 ^{*3} |

注記 *1：設計上定める値が小数点以下第 1 位の場合は、小数点以下第 1 位表示とする。

*2：絶対値が 1000 以上のときは、べき数表示とする。

*3：設計・建設規格 付録材料図表に記載された温度の中間における引張強さ及び降伏点は、比例法により補間した値の小数点以下第 1 位を切り捨て、整数位までの値とする。

3. 評価部位

使用済燃料プール水位／温度（ヒートサーモ式）の耐震評価は、「4.1 地震応答解析及び構造強度評価方法」に示す条件に基づき、耐震評価上厳しくなる基礎ボルト、ワーキングテーブルラグに加え、主要部位となる検出器架台、保護管について評価を実施する。使用済燃料プール水位／温度（ヒートサーモ式）の耐震評価部位については、表 2-1 の概略構造図に示す。

4. 地震応答解析及び構造強度評価

4.1 地震応答解析及び構造強度評価方法

- (1) 地震力は、使用済燃料プール水位／温度（ヒートサーモ式）に対して、水平²方向及び鉛直方向から同時に作用するものとする。
- (2) スロッシングは、使用済燃料プール水位／温度（ヒートサーモ式）に対して水平方向から作用するものとする。
- (3) 耐震計算に用いる寸法は、公称値を使用する。

4.2 荷重の組合せ及び許容応力

4.2.1 荷重の組合せ及び許容応力状態

使用済燃料プール水位／温度（ヒートサーモ式）の荷重の組合せ及び許容応力状態のうち重大事故等対処設備の評価に用いるものを表 4-1 に示す。

4.2.2 許容応力

使用済燃料プール水位／温度（ヒートサーモ式）の許容応力は、添付書類「VI-2-1-9 機能維持の基本方針」に基づき表 4-2 に示す。

4.2.3 使用材料の許容応力評価条件

使用済燃料プール水位／温度（ヒートサーモ式）の使用材料の許容応力評価条件のうち重大事故等対処設備の評価に用いるものを表 4-3 に示す。

表 4-1 荷重の組合せ及び許容応力状態（重大事故等対処設備）

| 施設区分 | | 機器名称 | 設備分類 ^{*1} | 機器等の区分 | 荷重の組合せ | 許容応力状態 |
|------------------|-----------|--------------------------------|--------------------|-----------------|---|--|
| 核燃料物質の取扱施設及び貯蔵施設 | 使用済燃料貯蔵設備 | 使用済燃料プール 水位／温度 (ヒートサーモ式) | 常設／防止 常設／緩和 | — ^{*2} | $D + P_D + M_D + S_s$ ^{*3, *4} | V_{AS} |
| | | | | | $D + P_{SAD} + M_{SAD} + S_s$ ^{*4} | V_{AS} (V_{AS} として IV_{AS} の許容限界を用いる。) |

注記*1：「常設／防止」は常設耐震重要重大事故防止設備以外の常設重大事故防止設備、「常設／緩和」は常設重大事故緩和設備を示す。

*2：その他の支持構造物の荷重の組合せ及び許容応力を適用する。

*3：「 $D + P_{SAD} + M_{SAD} + S_s$ 」の評価に包絡されるため、評価結果の記載を省略する。

*4：地震荷重にはプール水のスロッシングによる荷重を含む。

表 4-2 許容応力（重大事故等その他の支持構造物）

| 許容応力状態 | 許容限界 ^{*1, *2} (ボルト等) | | 許容限界 ^{*1, *2} (ボルト等以外) |
|---|----------------------------------|------------------------|------------------------------------|
| | 一次応力 | | 一次応力 |
| | 引張り | せん断 | 引張り |
| IV _{AS} | | | |
| V _{AS} (V _{AS} としてIV _{AS} の 許容限界を用いる。) | 1.5 • f _t * | 1.5 • f _s * | 1.5 • f _t * |

注記*1：応力の組合せが考えられる場合には、組合せ応力に対しても評価を行う。

*2：当該の応力が生じない場合、規格基準で省略可能とされている場合及び他の応力で代表可能である場合は評価を省略する。

表 4-3 使用材料の許容応力評価条件（重大事故等対処設備）

| 評価部材 | 材料 | 温度条件 (°C) | | S_y (MPa) | S_u (MPa) | $S_y(R.T.)$ (MPa) |
|--------------------------------|----------|--------------|-----|----------------|----------------|----------------------|
| 基礎ボルト (16mm < 径 ≤ 40mm) | SS400 | 周囲環境温度 | 100 | 212 | 373 | — |
| 検出器架台 | SUS304 | 周囲環境温度 | 100 | 171 | 441 | 205 |
| 保護管 | SUS316TP | 周囲環境温度 | 100 | 176 | 476 | 205 |
| ワーキング テーブルラグ | SUS304 | 周囲環境温度 | 100 | 171 | 441 | 205 |

4.3 解析モデル及び諸元

使用済燃料プール水位／温度（ヒートサーモ式）の概要図及び解析モデルを図4-1及び図4-2に、解析モデルの概要を以下に示す。また、機器の諸元を本計画書の【使用済燃料プール水位／温度（ヒートサーモ式）（G41-L/TE107, 108, 109, 110, 111, 112, 113, 114, 115, 116, 117, 118, 119, 120, TE121）の耐震性についての計算結果】のその他の機器要目に示す。

- (1) 解析モデルは、はり要素及び集中質量要素からなる3次元モデルを用いる。
- (2) 使用済燃料プール内の水位温度計は4箇所のワーキングテーブルラグで支持される。ワーキングテーブルラグはX軸をシャフトにより、Z軸をシャフトの両端から挟み込んでいる保護管サポートにより固定されるため、水平2方向（X軸Z軸）を拘束する。
- (3) 基礎部のXYZ方向及び回転方向を固定する。なお、基礎ボルト部は剛体として評価する。
- (4) 使用済燃料プール水位／温度（ヒートサーモ式）の質量には、検出器架台や保護管、熱電対の質量を考慮する。また、円柱形状の保護管に含まれる水の質量及び水中の機器の形状により排除される水の付加質量を考慮し、水の質量及び付加質量は、保護管の全長にわたって水平方向に等分布に与えられる。
- (5) 検出器周囲の流体のスロッシング荷重は各質点に付加する。
- (6) 解析コードは、「NX NASTRAN」を使用し、固有値と各要素に発生する荷重及びモーメントを求める。なお、評価に用いる解析コードの検証及び妥当性確認等の概要については、添付書類「VI-5 計算機プログラム（解析コード）の概要」に示す。

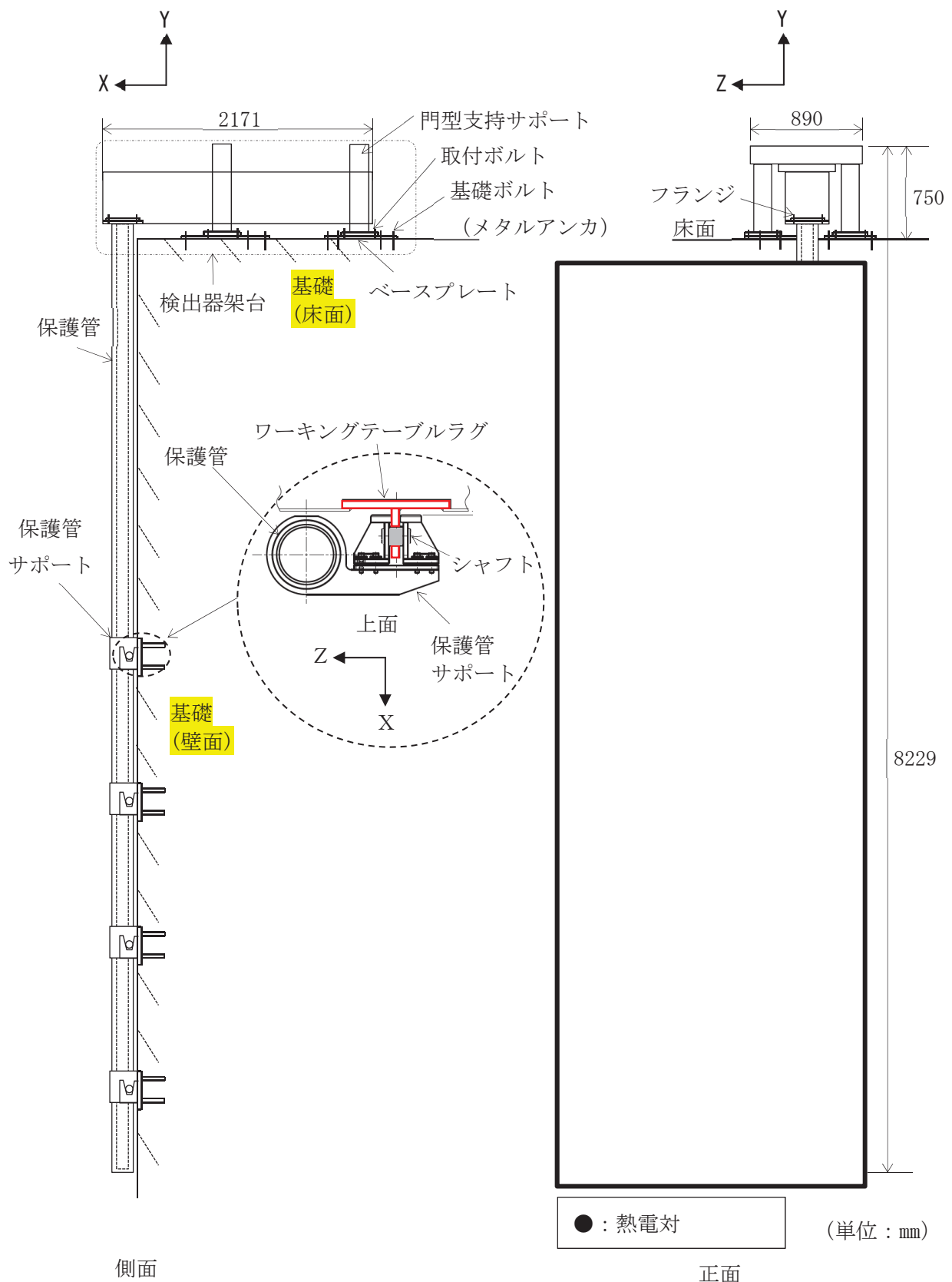


図 4-1 概要図

枠囲みの内容は商業機密の観点から公開できません。

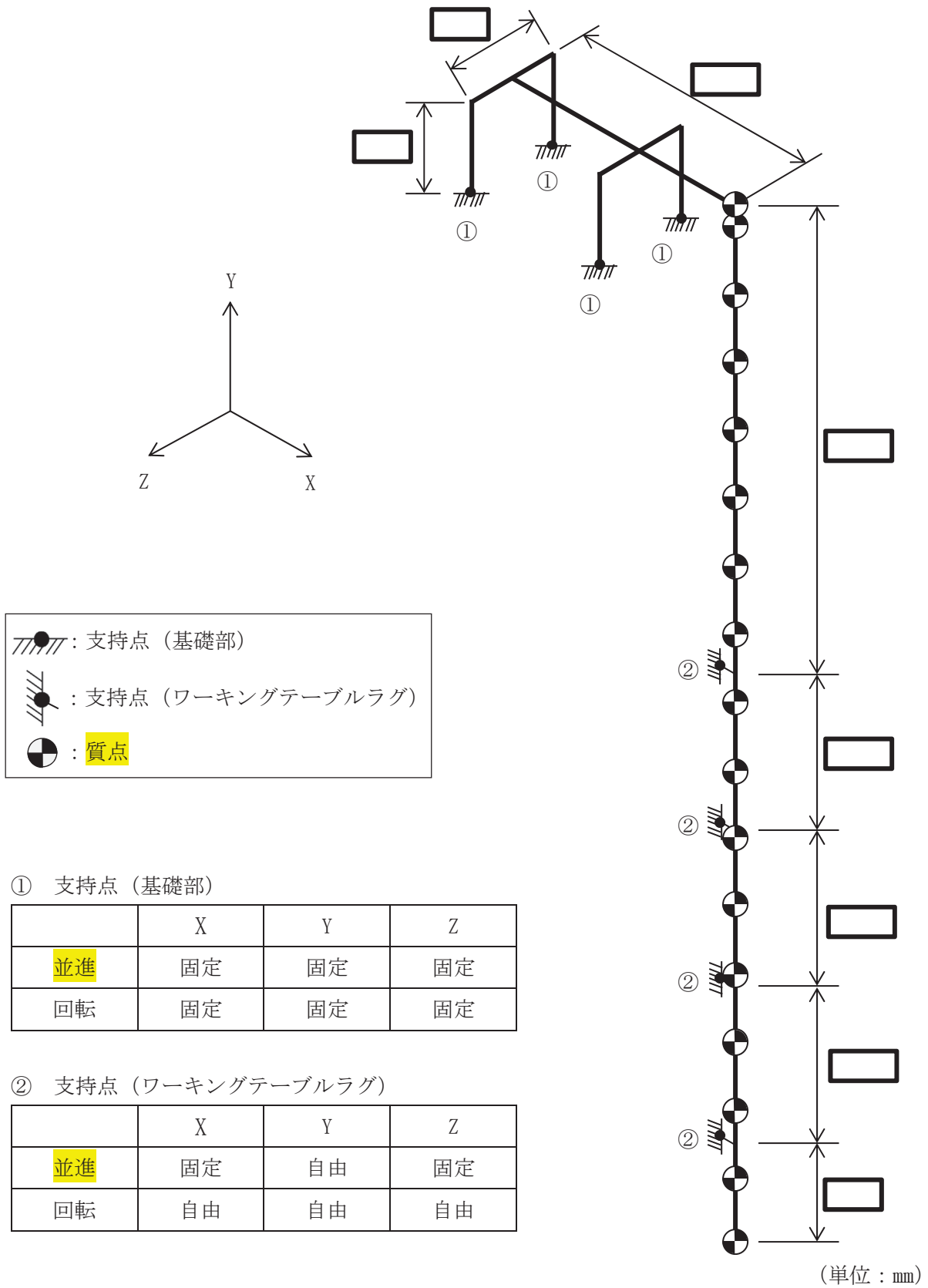


図 4-2 解析モデル

枠囲みの内容は商業機密の観点から公開できません。

4.4 固有周期

固有値解析結果を表 4-4 に、振動モード図を図 4-3 及び図 4-4 に示す。固有周期は 0.05 秒以下であり、剛であることを確認した。

表 4-4 固有値解析結果

| モード | 卓越方向 | 固有周期 (s) | 水平方向刺激係数 | | 鉛直方向 刺激係数 |
|-----|------|-------------|----------|------|--------------|
| | | | X 方向 | Z 方向 | |
| 1 次 | 水平方向 | | — | — | — |
| 2 次 | 鉛直方向 | | — | — | — |

図 4-3 振動モード図 (1 次モード 水平方向 [] s)

枠囲みの内容は商業機密の観点から公開できません。

O 2 ③ VI-2-4-2-5 R 3

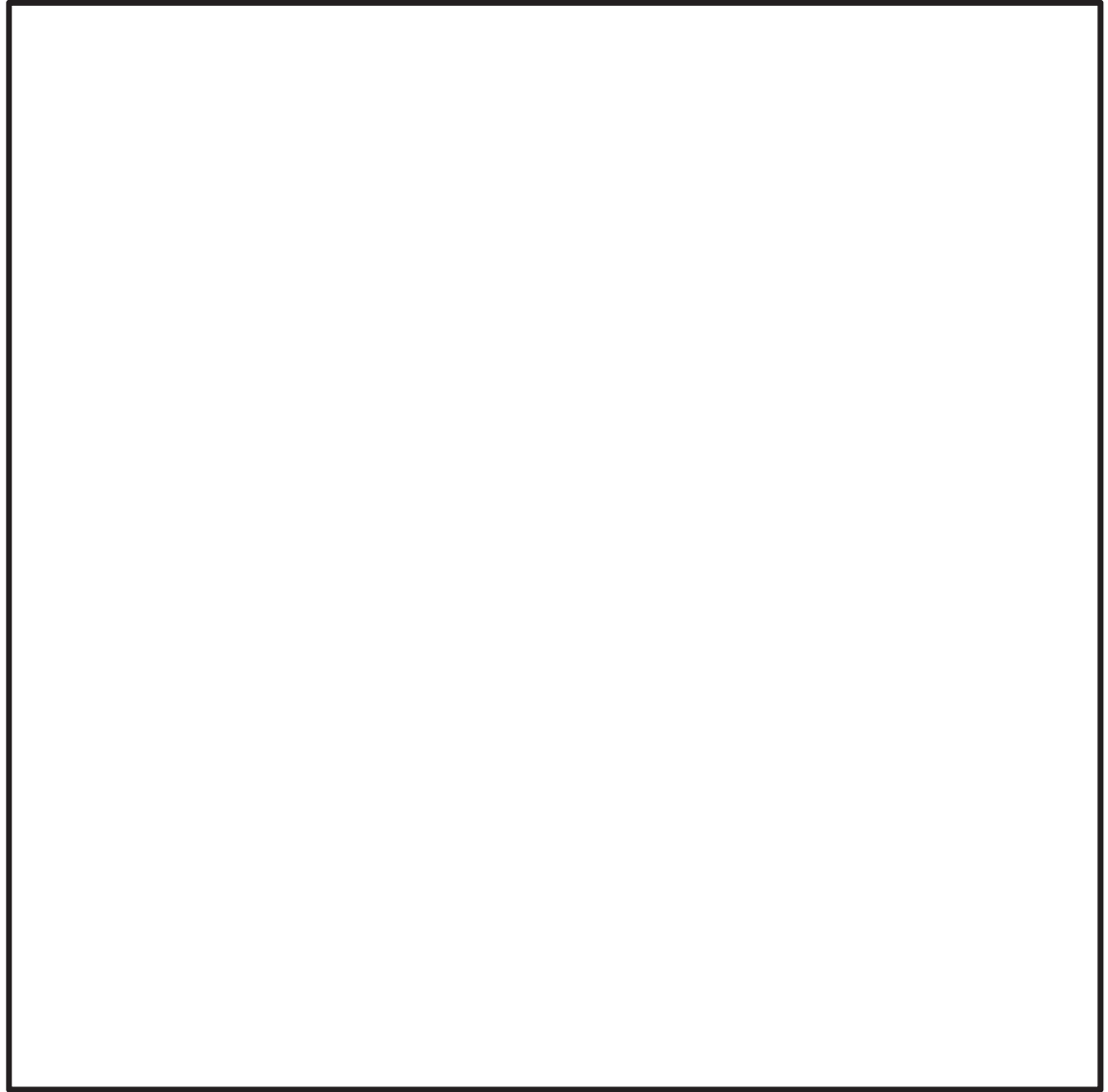


図 4-4 振動モード図 (2 次モード 鉛直方向 [] s)

枠囲みの内容は商業機密の観点から公開できません。

4.5 設計用地震力

耐震評価に用いる設計用地震力を表 4-5 に示す。

「基準地震動 S s」による地震力は、添付書類「VI-2-1-7 設計用床応答曲線の作成方針」に基づき設定する。

表 4-5 設計用地震力（重大事故等対処設備）

| 据付場所及 び床面高さ (m) | 固有周期 (s) | | 弹性設計用地震動 S d 又は静的震度 | | 基準地震動 S s | |
|-------------------------------------|-------------|------|------------------------|--------------|--------------|--------------|
| | 水平方向 | 鉛直方向 | 水平方向 設計震度 | 鉛直方向 設計震度 | 水平方向 設計震度 | 鉛直方向 設計震度 |
| 原子炉建屋 0. P. 33. 20 ^{*1} | | | — | — | $C_H = 2.65$ | $C_V = 1.77$ |

注記 *1：基準床レベルを示す。

4.6 計算方法

4.6.1 保護管の計算方法

4.6.1.1 保護管の地震力における応力の算出

- (1) 図4-2に示す解析モデルにより地震応答解析を実施する。
- (2) 地震応答解析により算出された、保護管の評価用の反力とモーメントを表4-6に示す。
- (3) 各軸方向に作用する荷重を用いて、保護管に発生する応力を算出する。算出結果を表4-7に示す。

表4-6 保護管評価用反力、モーメント

| 対象部位 | ケース | 反力(N) | | | モーメント(N・mm) | | |
|------|-----|----------------|----------------|----------------|----------------|----------------|----------------|
| | | F _x | F _y | F _z | M _x | M _y | M _z |
| 保護管 | 地震力 | | | | | | |

表4-7 保護管の組合せ応力

| 地震力における 組合せ応力 σ _k (MPa) |
|---------------------------------------|
| 38 |

4.6.1.2 保護管のスロッシングにおける応力の算出

- (1) スロッシングにおける応力の算出においては、添付書類「VI-1-1-8-3 溢水評価条件の設定」に示す基準地震動 S_s (S_s-D 1波：応答スペクトルに基づく地震動) の3方向入力による使用済燃料プールの3次元流動解析により得られた流体速度時刻歴データを用いる。
- (2) 流体速度時刻歴データを用いて使用済燃料プール水位／温度（ヒートサーモ式）の保護管に生じる抗力を算出する。
- (3) 抗力の算出には以下の式を用い、抗力係数 C_d は機械工学便覧 日本機械学会編 (2007) より、保護管は円柱形状であるため1.2とする。なお、抗力の算出においては、流体速度時刻歴データより燃料プール内の高さレベルごとの流体速度の最大値 V を抽出し、以下の式を用い抗力 F_s を算出する。流体速度時刻歴データは使用済燃料プール水位／温度（ヒートサーモ式）の保護管に対し支配的となる Z 方向のデータを適用するものとする。

$$F_s = \frac{1}{2} \cdot C_d \cdot \rho \cdot A \cdot V^2 \quad \dots \dots \dots \dots \dots \dots \quad (4.6.1.2.1)$$

- (4) 抗力の算出から得られた高さレベルごとの抗力を図4-2に示す解析モデルに入力し、スロッシング影響解析により地震及びスロッシングにおける応力を算出する。

枠囲みの内容は商業機密の観点から公開できません。

4.6.1.3 保護管の地震力及びスロッシングにおける応力の算出

スロッシング影響解析によって得られた保護管の評価用の反力とモーメントを表 4-8 に示す。その結果を用いて保護管に発生する応力を算出する。算出結果を表 4-9 に示す。

表 4-8 保護管評価用反力、モーメント

| 対象 部位 | ケース | 反力(N) | | | モーメント(N・mm) | | |
|----------|-----------------|----------|----------|----------|-------------|----------|----------|
| | | F_{x2} | F_{y2} | F_{z2} | M_{x2} | M_{y2} | M_{z2} |
| 保護管 | 地震力及び スロッシング | | | | | | |

表 4-9 保護管の組合せ応力

| |
|---------------------------------------|
| スロッシングを考慮した 組合せ応力 σ_k (MPa) |
| 49 |

4.6.2 検出器架台の計算方法

4.6.2.1 検出器架台の地震力における応力の算出

- (1) 図 4-2 に示す解析モデルにより地震応答解析を実施する。
- (2) 地震応答解析により算出された、検出器架台の評価用の反力とモーメントを表 4-10 に示す。
- (3) 各軸方向に作用する荷重を用いて、検出器架台に発生する応力を算出する。算出結果を表 4-11 に示す。

表 4-10 検出器架台評価用反力、モーメント

| 対象 部位 | ケース | 反力(N) | | | モーメント(N・mm) | | |
|-----------|-----|----------|----------|----------|-------------|----------|----------|
| | | F_{x1} | F_{y1} | F_{z1} | M_{x1} | M_{y1} | M_{z1} |
| 検出器 架台 | 地震力 | | | | | | |

表 4-11 検出器架台の組合せ応力

| |
|-----------------------------------|
| 地震力における 組合せ応力 σ_k (MPa) |
| 15 |

枠囲みの内容は商業機密の観点から公開できません。

4.6.2.2 検出器架台の地震力及びスロッシングにおける応力の算出

「4.6.1.2 保護管のスロッシングにおける応力の算出」に示す、スロッシング影響解析によって得られた検出器架台の評価用の反力とモーメントを表4-12に示す。その結果を用いて検出器架台に発生する応力を算出する。算出結果を表4-13に示す。

表4-12 検出器架台評価用反力、モーメント

| 対象部位 | ケース | 反力(N) | | | モーメント(N・mm) | | |
|-------|-------------|----------|----------|----------|-------------|----------|----------|
| | | F_{x2} | F_{y2} | F_{z2} | M_{x2} | M_{y2} | M_{z2} |
| 検出器架台 | 地震力及びスロッシング | | | | | | |

表4-13 検出器架台の組合せ応力

| |
|-----------------------------------|
| スロッシングを考慮した組合せ応力 σ_k (MPa) |
| 17 |

4.6.3 基礎ボルトの計算方法

4.6.3.1 基礎ボルトの地震力における応力の算出

- (1) 図4-2に示す解析モデルにより地震応答解析を実施する。
- (2) 地震応答解析により算出された、基礎ボルトの評価用の反力とモーメントを表4-14に示す。

表4-14 基礎ボルト評価用反力、モーメント

| 対象部位 | ケース | 反力(N) | | | モーメント(N・mm) | | |
|-------|-----|--------|--------|--------|-------------|----------|----------|
| | | F_x1 | F_y1 | F_z1 | M_{x1} | M_{y1} | M_{z1} |
| 基礎ボルト | 地震力 | | | | | | |

4.6.3.2 基礎ボルトの地震力及びスロッシングにおける応力の算出

「4.6.1.2 保護管のスロッシングにおける応力の算出」に示す、スロッシング影響解析によって得られた基礎ボルトの評価用の反力とモーメントを表4-15に示す。

枠囲みの内容は商業機密の観点から公開できません。

表4-15 基礎ボルト評価用反力、モーメント

| 対象 部位 | ケース | 反力(N) | | | モーメント(N・mm) | | |
|-----------|-----------------|----------|----------|----------|-------------|----------|----------|
| | | F_{x2} | F_{y2} | F_{z2} | M_{x2} | M_{y2} | M_{z2} |
| 基礎 ボルト | 地震力及び スロッシング | | | | | | |

4.6.3.3 基礎ボルトの応力の計算方法

地震応答解析及びスロッシング影響解析によって得られた基礎ボルトの評価用の反力とモーメントにより、理論式にて基礎ボルトの応力を評価する。

O 2 ③ VI-2-4-2-5 R 3

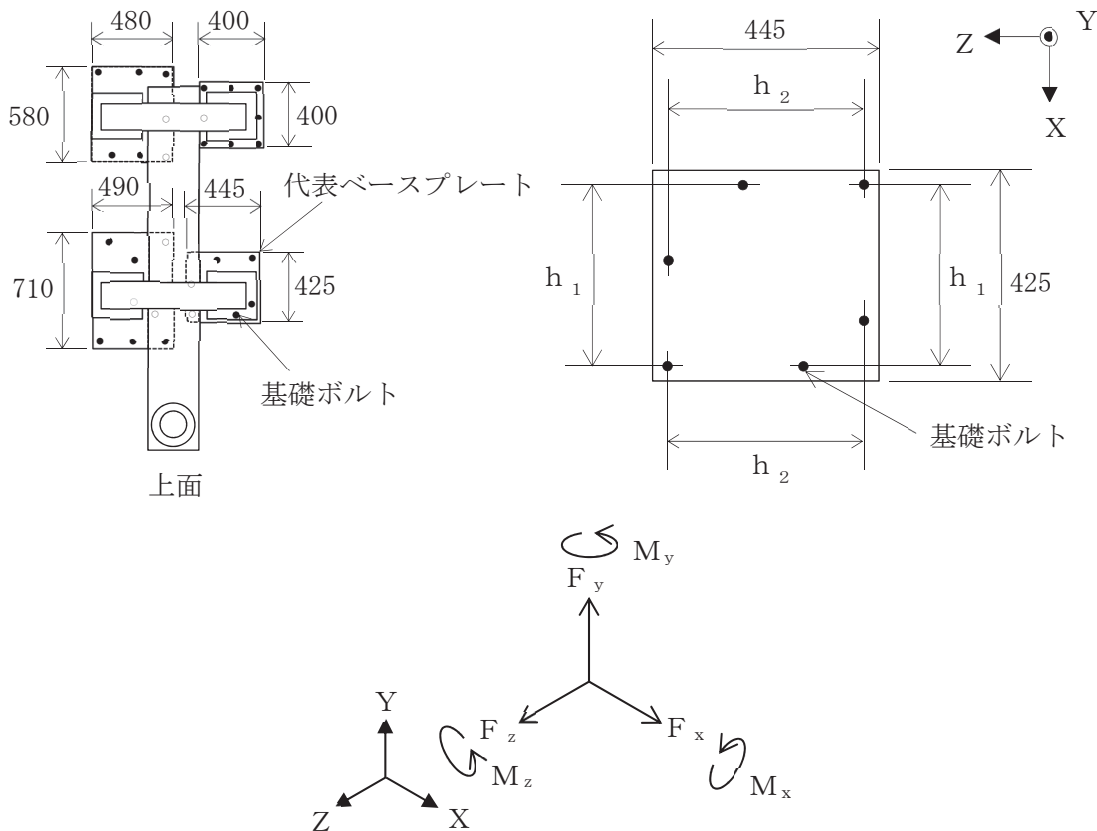


図 4-5 基礎ボルトの計算モデル図

(1) 引張応力

計算モデル図 4-5 に対する引張力は、 F_y に対しては n 本、 M_x に対しては n_x 本、 M_z に対しては n_z 本で受けるものとし計算する。

引張力

$$F_b = \frac{F_y}{n} + \frac{M_x}{(n_x \cdot h_2)} + \frac{M_z}{(n_z \cdot h_1)} \quad \dots \dots \dots \dots \dots \dots \quad (4.6.3.3.1)$$

枠囲みの内容は商業機密の観点から公開できません。

引張応力

ここで基礎ボルトの断面積Aは次式により求める。

(2) せん断応力

せん断力

基礎ボルトに対するせん断力は、 F_x および F_z に対してはn本、 M_y に対しては n_y 本で受けるものとし計算する。

$$Q_b = \sqrt{\left(\frac{F_x}{n} + \frac{M_y}{(n_y \cdot h_1)} \right)^2 + \left(\frac{F_z}{n} + \frac{M_y}{(n_y \cdot h_1)} \right)^2} \quad \dots \quad (4.6.3.3.4)$$

せん断応力

4.6.4 ワーキングテーブルラグの計算方法

4.6.4.1 ワーキングテーブルラグの地震力における応力の算出

- (1) 図4-2に示す解析モデルにより地震応答解析を実施する。
- (2) 地震応答解析により算出された、ワーキングテーブルラグの評価用の反力とモーメントを表4-16に示す。

表4-16 ワーキングテーブルラグ評価用反力、モーメント

| 対象 部位 | ケース | 反力(N) | | | モーメント(N・mm) | | |
|---------------------|-----|----------|----------|----------|-------------|----------|----------|
| | | F_{x1} | F_{y1} | F_{z1} | M_{x1} | M_{y1} | M_{z1} |
| ワーキング テーブル ラグ | 地震力 | | | | | | |

4.6.4.2 ワーキングテーブルラグの地震力及びスロッシングにおける応力の算出

「4.6.1.2 保護管のスロッシングにおける応力の算出」に示す、スロッシング影響解析によって得られた基礎ボルトの評価用の反力とモーメントを表4-17に示す。

表4-17 ワーキングテーブルラグ評価用反力、モーメント

| 対象 部位 | ケース | 反力(N) | | | モーメント(N・mm) | | |
|---------------------|-----------------|----------|----------|----------|-------------|----------|----------|
| | | F_{x2} | F_{y2} | F_{z2} | M_{x2} | M_{y2} | M_{z2} |
| ワーキング テーブル ラグ | 地震力及び スロッシング | | | | | | |

4.6.4.3 ワーキングテーブルラグの応力の計算方法

地震応答解析及びスロッシング影響解析によって得られたワーキングテーブルラグの評価用の反力とモーメントにより、理論式にてワーキングテーブルラグの応力を評価する。

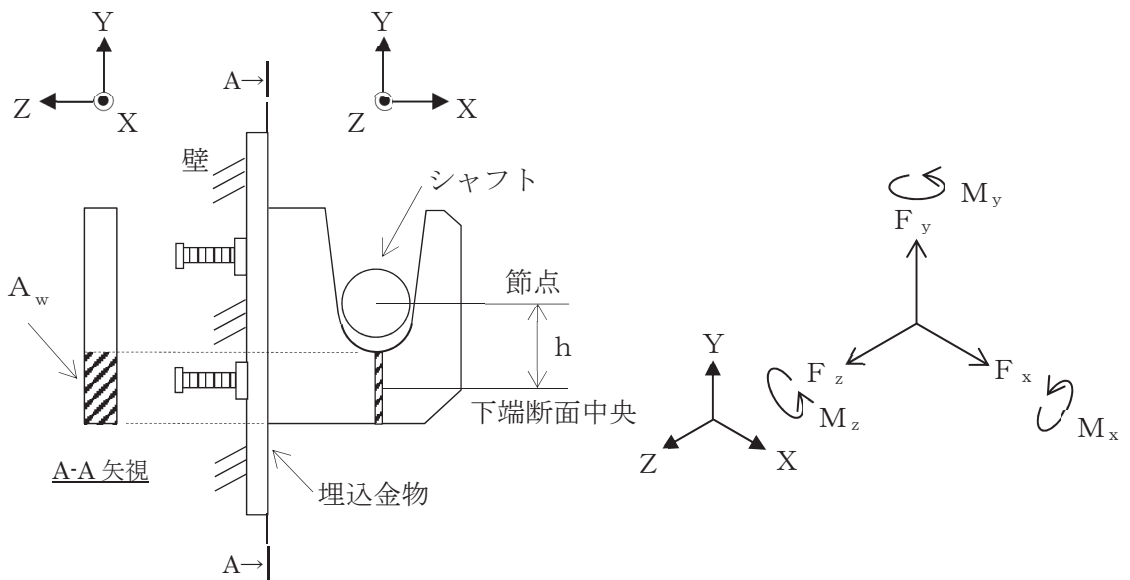


図 4-6 ワーキングテーブルラグの計算モデル図

(1) 組合せ応力

計算モデル図 4-6 の場合は、次式にて求める。

$$\sigma_k = \frac{F_x}{A_w} + \frac{F_x \cdot h}{Z_z} \quad \dots \dots \dots \dots \dots \dots \dots \quad (4.6.4.3.1)$$

ここで、 A_w はワーキングテーブルラグの下端断面積、 Z_z はワーキングテーブルラグ下端断面係数を示す。

計算モデル図 4-6 にて算出した結果を表 4-18 に示す。

表 4-18 ワーキングテーブルラグの組合せ応力

| 地震力における 組合せ応力 σ_k (MPa) | スロッシングを考慮した 組合せ応力 σ_k (MPa) |
|-----------------------------------|---------------------------------------|
| 70 | 76 |

4.7 計算条件

応力計算に用いる計算条件は、本計算書の【使用済燃料プール水位／温度（ヒートサーモ式）（G41-L/TE107, 108, 109, 110, 111, 112, 113, 114, 115, 116, 117, 118, 119, 120, TE121）の耐震性についての計算結果】の設計条件及び機器要目に示す。

4.8 応力の評価

4.8.1 保護管の応力評価

保護管に生じる組合せ応力は次式より求めた許容組合せ応力 f_t 以下であること。ただし f_t は下表による。

| | |
|------------------|-----------------------------|
| | 基準地震動 S s による 荷重との組合せの場合 |
| 許容組合せ応力 f_t | $\frac{F^*}{1.5} \cdot 1.5$ |

4.8.2 検出器架台の応力評価

検出器架台に生じる組合せ応力は次式より求めた許容組合せ応力 f_t 以下であること。ただし f_t は下表による。

| | |
|------------------|-----------------------------|
| | 基準地震動 S s による 荷重との組合せの場合 |
| 許容組合せ応力 f_t | $\frac{F^*}{1.5} \cdot 1.5$ |

4.8.3 基礎ボルトの応力評価

基礎ボルトに生じる引張応力 σ_t は次式より求めた許容引張応力 f_{t_s} 以下であること。ただし f_{t_s} は下表による。

$$f_{t_s} = \text{Min}[1.4 \cdot f_{t_o} - 1.6 \cdot \tau, f_{t_o}] \dots \dots \dots \quad (4.8.3.1)$$

せん断応力 τ は、せん断力のみを受けるボルトの許容せん断応力 f_{s_b} 以下であること。ただし f_{s_b} は下表による。

| | |
|-------------------------|--|
| | 基準地震動 S s による 荷重との組合せの場合 |
| 許容引張応力 $f_{t\circ}$ | $\frac{F^*}{2} \cdot 1.5$ |
| 許容せん断応力 $f_{s\circ}$ | $\frac{F^*}{1.5 \cdot \sqrt{3}} \cdot 1.5$ |

4.8.4 ワーキングテーブルラグの応力評価

ワーキングテーブルラグに生じる組合せ応力は次式より求めた許容組合せ応力 f_t 以下であること。ただし f_t は下表による。

| | |
|------------------|-----------------------------|
| | 基準地震動 S s による 荷重との組合せの場合 |
| 許容組合せ応力 f_t | $\frac{F^*}{1.5} \cdot 1.5$ |

5. 機能維持評価

5.1 電気的機能維持評価方法

使用済燃料プール水位／温度（ヒートサーモ式）の電気的機能維持評価について以下に示す。

なお、機能維持評価用加速度は、添付書類「VI-2-1-7 設計用床応答曲線の作成方針」に基づき、基準地震動 S s により定まる応答加速度を設定する。

使用済燃料プール水位／温度（ヒートサーモ式）の機能確認済加速度は、「VI-2-1-9 機能維持の基本方針」に基づき、加振試験により電気的機能の健全性を確認した器具の最大加速度を適用する。

機能確認済加速度を表 5-1 に示す。

表 5-1 機能確認済加速度 ($\times 9.8 \text{m/s}^2$)

| 評価部位 | 方向 | 機能確認済加速度 |
|--|------|----------|
| 使用済燃料プール水位／温度 (ヒートサーモ式) (G41-L/TE107, 108, 109, 110, 111, 112, 113, 114, 115, 116, 117, 118, 119, 120, TE121) | 水平方向 | |
| | 鉛直方向 | |

枠囲みの内容は商業機密の観点から公開できません。

6. 評価結果

6.1 重大事故等対処設備としての評価結果

使用済燃料プール水位／温度（ヒートサーモ式）の重大事故等時の状態を考慮した場合の耐震評価結果を以下に示す。発生値は許容限界を満足しており、設計用地震力に対して十分な構造強度及び電気的機能を有していることを確認した。

(1) 構造強度評価結果

構造強度評価の結果を次頁以降の表に示す。

(2) 機能維持評価結果

電気的機能維持評価の結果を次頁以降の表に示す。

【使用済燃料プール水位／温度（ヒートサーモ式）(G41-L/TE107, 108, 109, 110, 111, 112, 113, 114, 115, 116, 117, 118, 119, 120, TE121)の耐震性についての計算結果】

1. 重大事故等対処設備

1.1 設計条件

| 機器名称 | 設備分類 | 据付場所及び床面高さ (m) | 固有周期 (s) | | 弾性設計用地震動 S_d 又は静的震度 | | 基準地震動 S_s | | 周囲環境 温度 (°C) |
|--|----------------|-----------------------------------|----------|------|------------------------|--------------|--------------|--------------|--------------------|
| | | | 水平方向 | 鉛直方向 | 水平方向 設計震度 | 鉛直方向 設計震度 | 水平方向 設計震度 | 鉛直方向 設計震度 | |
| 使用済燃料プール 水位／温度 (ヒートサーモ式) (G41-L/TE107, 108, 109, 110, 111, 112, 113, 114, 115, 116, 117, 118, 119, 120, TE121) | 常設／防止 常設／緩和 | 原子炉建屋 O.P. 33.20 ^{*1} | | | — | — | C_H=2.65 | C_V=1.77 | 100 |

注記*1：基準床レベルを示す。

29

1.2 機器要目

1.2.1 保護管

| 部材 | m_p (kg) | m_w1 (kg) | m_w2 (kg) | d_o (mm) | d_i (mm) | l_p (mm) | S_y (MPa) | S_u (MPa) | S_y(R.T.) (MPa) | F* (MPa) |
|-----|-------------|--------------|--------------|-------------|-------------|-------------|--------------|--------------|--------------------|-------------|
| 保護管 | | | | 165.2 | 151.0 | 7620 | 176 | 476 | 205 | 205 |

1.2.2 検出器架台

| 部材 | S_y (MPa) | S_u (MPa) | S_y(R.T.) (MPa) | F* (MPa) |
|-------|--------------|--------------|--------------------|-------------|
| 検出器架台 | 171 | 441 | 205 | 205 |

枠囲みの内容は商業機密の観点から公開できません。

1.2.3 基礎ボルト

| 部材 | W (N) | d (mm) | A _b (mm ²) | h ₁ (mm) | h ₂ (mm) | n | n _x | n _y | n _z | S _y (MPa) | S _u (MPa) | F* (MPa) |
|-------|----------|-----------|--------------------------------------|------------------------|------------------------|---|----------------|----------------|----------------|-------------------------|-------------------------|-------------|
| 基礎ボルト | | | 314 | 341 | 362 | 6 | 2 | 4 | 2 | 212 | 373 | 254 |

1.2.4 ワーキングテーブルラグ

| 部材 | A _w (mm ²) | h (mm) | S _y (MPa) | S _u (MPa) | S _y (R T) (MPa) | F* (MPa) |
|-----------------|--------------------------------------|-----------|-------------------------|-------------------------|-------------------------------|-------------|
| ワーキングテ ーブルラグ | 1000 | 65 | 171 | 441 | 205 | 205 |

1.3 計算数値

1.3.1 保護管に作用する反力

(単位 : N)

| 部材 | ケース | F _{x1, 2} | | F _{y1, 2} | | F _{z1, 2} | |
|-----|-----------------|-----------------------------------|----------------------|-----------------------------------|----------------------|-----------------------------------|----------------------|
| | | 弹性設計用地震動 S _d 又は静的震度 | 基準地震動 S _s | 弹性設計用地震動 S _d 又は静的震度 | 基準地震動 S _s | 弹性設計用地震動 S _d 又は静的震度 | 基準地震動 S _s |
| 保護管 | 地震力 | — | | — | | — | |
| | 地震力及び スロッシング | — | | — | | — | |

1.3.2 保護管に作用するモーメント

(単位 : N・mm)

| 部材 | ケース | M _{x1, 2} | | M _{y1, 2} | | M _{z1, 2} | |
|-----|-----------------|-----------------------------------|----------------------|-----------------------------------|----------------------|-----------------------------------|----------------------|
| | | 弹性設計用地震動 S _d 又は静的震度 | 基準地震動 S _s | 弹性設計用地震動 S _d 又は静的震度 | 基準地震動 S _s | 弹性設計用地震動 S _d 又は静的震度 | 基準地震動 S _s |
| 保護管 | 地震力 | — | | — | | — | |
| | 地震力及び スロッシング | — | | — | | — | |

枠囲みの内容は商業機密の観点から公開できません。

1.3.3 検出器架台に作用する反力

(単位 : N)

| 部材 | ケース | $F_{x1,2}$ | | $F_{y1,2}$ | | $F_{z1,2}$ | |
|-------|-----------------|--------------------------|-------------|--------------------------|-------------|--------------------------|-------------|
| | | 弾性設計用地震動 S_d 又は静的震度 | 基準地震動 S_s | 弾性設計用地震動 S_d 又は静的震度 | 基準地震動 S_s | 弾性設計用地震動 S_d 又は静的震度 | 基準地震動 S_s |
| 検出器架台 | 地震力 | — | | — | | — | |
| | 地震力及び スロッシング | — | | — | | — | |

1.3.4 検出器架台に作用するモーメント

(単位 : N・mm)

| 部材 | ケース | $M_{x1,2}$ | | $M_{y1,2}$ | | $M_{z1,2}$ | |
|-------|-----------------|--------------------------|-------------|--------------------------|-------------|--------------------------|-------------|
| | | 弾性設計用地震動 S_d 又は静的震度 | 基準地震動 S_s | 弾性設計用地震動 S_d 又は静的震度 | 基準地震動 S_s | 弾性設計用地震動 S_d 又は静的震度 | 基準地震動 S_s |
| 検出器架台 | 地震力 | — | | — | | — | |
| | 地震力及び スロッシング | — | | — | | — | |

31

1.3.5 基礎ボルトに作用する反力

(単位 : N)

| 部材 | ケース | $F_{x1,2}$ | | $F_{y1,2}$ | | $F_{z1,2}$ | |
|-------|-----------------|--------------------------|-------------|--------------------------|-------------|--------------------------|-------------|
| | | 弾性設計用地震動 S_d 又は静的震度 | 基準地震動 S_s | 弾性設計用地震動 S_d 又は静的震度 | 基準地震動 S_s | 弾性設計用地震動 S_d 又は静的震度 | 基準地震動 S_s |
| 基礎ボルト | 地震力 | — | | — | | — | |
| | 地震力及び スロッシング | — | | — | | — | |

1.3.6 基礎ボルトに作用するモーメント

(単位 : N・mm)

| 部材 | ケース | $M_{x1,2}$ | $M_{y1,2}$ | $M_{z1,2}$ | | | |
|-------|-----------------|------------------------|------------|------------------------|-----------|------------------------|-----------|
| | | 弹性設計用地震動 S d 又は静的震度 | 基準地震動 S s | 弹性設計用地震動 S d 又は静的震度 | 基準地震動 S s | 弹性設計用地震動 S d 又は静的震度 | 基準地震動 S s |
| 基礎ボルト | 地震力 | — | | — | | — | |
| | 地震力及び スロッシング | — | | — | | — | |

1.3.7 ワーキングテーブルラグに作用する反力

(単位 : N)

| 部材 | ケース | $F_{x1,2}$ | $F_{y1,2}$ | $F_{z1,2}$ | | | |
|-----------------|-----------------|------------------------|------------|------------------------|-----------|------------------------|-----------|
| | | 弹性設計用地震動 S d 又は静的震度 | 基準地震動 S s | 弹性設計用地震動 S d 又は静的震度 | 基準地震動 S s | 弹性設計用地震動 S d 又は静的震度 | 基準地震動 S s |
| ワーキング テーブルラグ | 地震力 | — | | — | | — | |
| | 地震力及び スロッシング | — | | — | | — | |

1.3.8 ワーキングテーブルラグに作用するモーメント

(単位 : N・mm)

| 部材 | ケース | $M_{x1,2}$ | $M_{y1,2}$ | $M_{z1,2}$ | | | |
|-----------------|-----------------|------------------------|------------|------------------------|-----------|------------------------|-----------|
| | | 弹性設計用地震動 S d 又は静的震度 | 基準地震動 S s | 弹性設計用地震動 S d 又は静的震度 | 基準地震動 S s | 弹性設計用地震動 S d 又は静的震度 | 基準地震動 S s |
| ワーキング テーブルラグ | 地震力 | — | | — | | — | |
| | 地震力及び スロッシング | — | | — | | — | |

1.4 結論

1.4.1 保護管の応力

(単位 : MPa)

| 部 材 | 材 料 | 応 力 | 弾性設計用地震動 S_d 又は静的震度 | | 基準地震動 S_s | |
|-----|----------|-----|---------------------|------|-----------------|-------------|
| | | | 算出応力 | 許容応力 | 算出応力 | 許容応力 |
| 保護管 | SUS316TP | 組合せ | — | — | $\sigma_k = 49$ | $f_t = 205$ |

すべて許容応力以下である。

1.4.2 検出器架台の応力

(単位 : MPa)

| 部 材 | 材 料 | 応 力 | 弾性設計用地震動 S_d 又は静的震度 | | 基準地震動 S_s | |
|-------|--------|-----|---------------------|------|-----------------|-------------|
| | | | 算出応力 | 許容応力 | 算出応力 | 許容応力 |
| 検出器架台 | SUS304 | 組合せ | — | — | $\sigma_k = 17$ | $f_t = 205$ |

すべて許容応力以下である。

33

1.4.3 基礎ボルトの応力

(単位 : MPa)

| 部 材 | 材 料 | 応 力 | 弾性設計用地震動 S_d 又は静的震度 | | 基準地震動 S_s | |
|-------|-------|-----|---------------------|------|-----------------|-------------------|
| | | | 算出応力 | 許容応力 | 算出応力 | 許容応力 |
| 基礎ボルト | SS400 | 引張り | — | — | $\sigma_t = 42$ | $f_{t,s} = 152^*$ |
| | | せん断 | — | — | $\tau = 7$ | $f_{s,b} = 117$ |

注記* : $f_{t,s} = \text{Min}[1.4 \cdot f_{t,o} - 1.6 \cdot \tau, f_{t,o}]$ より算出

すべて許容応力以下である。

1.4.4 ワーキングテーブルラグの応力

(単位 : MPa)

| 部 材 | 材 料 | 応 力 | 弾性設計用地震動 S_d 又は静的震度 | | 基準地震動 S_s | |
|-----------------|--------|-----|---------------------|------|-----------------|-------------|
| | | | 算出応力 | 許容応力 | 算出応力 | 許容応力 |
| ワーキングテ ーブルラグ | SUS304 | 組合せ | — | — | $\sigma_k = 76$ | $f_t = 205$ |

すべて許容応力以下である。

1.4.5 電気的機能維持の評価結果

| | | (×9.8m/s ²) | |
|---|------|-------------------------|----------|
| | | 機能維持評価用加速度* | 機能確認済加速度 |
| 使用済燃料プール 水位／温度 (ヒートサー式) (G41-L/TE107, 108, 109, 110, 111, 112, 113, 114, 115, 116, 117, 118, 119, 120, TE121) | 水平方向 | 2.21 | |
| | 鉛直方向 | 1.47 | |

注記*：基準地震動 S s による定まる応答加速度とする。

機能維持評価用加速度 (1.0ZPA) はすべて機能確認済加速度以下である。

1.5 その他機器要目

(1) 材料物性値

| 項目 | 記号 | 単位 | 入力値 |
|-------|-------|-----|-----|
| 縦弾性係数 | E | MPa | |
| ボアソン比 | ν | — | |
| 要素数 | — | 個 | 59 |
| 節点数 | — | 個 | 60 |

(2) 検出器架台の断面性状

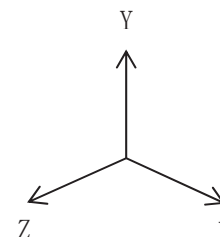
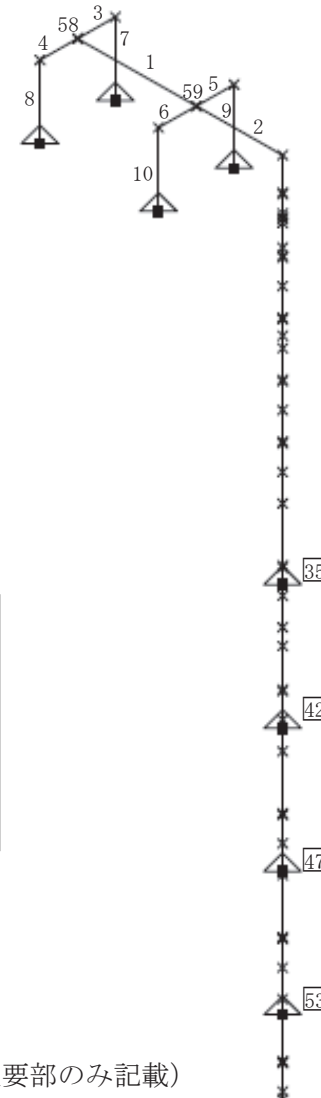
| 部材 | 要素番号 | A_c (mm ²) | Z_1 (mm ³) | Z_2 (mm ³) | Z_{p1} (mm ³) |
|-------|------|-----------------------------|-----------------------------|-----------------------------|--------------------------------|
| 検出器架台 | 1~2 | | | | |
| | 3~10 | | | | |

(3) 保護管の断面性状

| 部材 | 要素番号 | 断面積 (mm ²) | 断面係数 (mm ³) |
|-----|-------|---------------------------|----------------------------|
| 保護管 | 11~57 | | |

(4) ワーキングテーブルラグの断面性状

| 部材 | 節点番号 | A_w (mm ²) | Z_z (mm ³) |
|-------------|-------------------|-----------------------------|-----------------------------|
| ワーキングテーブルラグ | 35, 42, 47, 53 | 1.000×10^3 | 8.333×10^3 |



鳥瞰図記号凡例

| 記号 | 内容 |
|----|-----|
| △ | 拘束点 |
| × | 節点 |
| ■ | 荷重点 |

要素番号：1~59
(11~57 は保護管)

節点番号：[1] ~ [60]

([35], [42], [47], [53] 主要部のみ記載)

枠囲みの内容は商業機密の観点から公開できません。